

# КИНЕТИКА ПАРАМЕТРИЧЕСКОЙ НЕУСТОЙЧИВОСТИ СПИНОВЫХ ВОЛН В АНТИФЕРРОМАГНЕТИКЕ

*А.И.Смирнов*

Экспериментально исследовался процесс роста количества магнонов  $n_{\mathbf{k}}$  при их параметрическом возбуждении. Оказалось, что на начальной стадии процесса  $n_{\mathbf{k}}$  увеличивается экспоненциально. Инкремент неустойчивости в 2,5 раза меньше, чем следует из простой модели, феноменологически учитывающей затухание.

Параметрическое возбуждение магнонов исследовалось во многих теоретических и экспериментальных работах. В основе этого явления лежит взаимодействие пары магнонов с противоположно направленными волновыми векторами  $\mathbf{k}$  и  $-\mathbf{k}$  с однородным полем СВЧ накачки  $\mathbf{h}$ . При превышении  $h$  пороговой величины  $h_c$  происходит экспоненциальный рост количества магнонов, частота которых равна половине частоты накачки:  $\omega_{\mathbf{k}} = \omega_p/2$ . Уравнения, описывающие параметрическую неустойчивость магнонов [1] на линейной стадии процесса аналогичны уравнениям для амплитуды и фазы колебаний параметрически возбуждающего маятника. Из них следует такое развитие процесса: в течение времени порядка времени жизни магнона  $\tau_M$  (в исследуемом образце  $\text{CsMnF}_3$ ,  $\tau_M \approx 1 \text{ мксек}$ ) фазы всех пар магнонов подстраиваются к значению, соответствующему максимальной скорости роста, а затем происходит увеличение количества магнонов по закону

$$n_{\mathbf{k}} = n_{\mathbf{k}T} \exp \left[ \left( \frac{h}{h_c} - 1 \right) \frac{t}{\tau_M} \right] \quad (1)$$

здесь  $n_{\mathbf{k}T}$  – величина порядка количества тепловых магнонов с волновыми векторами  $\mathbf{k}$  и  $-\mathbf{k}$ , время  $t$  отсчитывается от момента включения накачки.

Как следует из [2, 3], нелинейные эффекты, приводящие к ограничению количества параметрических магнонов, проявляются при  $n_{\mathbf{k}}/n_{\mathbf{k}T} \approx 10^6$ .

Экспериментально параметрическое возбуждение спиновых волн регистрируют по поглощению мощности СВЧ накачки в образце, помещенном в СВЧ резонатор. Однако, количество тепловых магнонов слишком мало для того, чтобы это поглощение было заметно сразу после включения накачки. Для экспериментальных установок, применяемых в работах [2, 3] и в настоящем исследовании поглощение энергии становится заметным при  $n_{\mathbf{k}}/n_{\mathbf{k}T} \approx 10^5$ . Поэтому при воздействии на образец накачки в виде прямоугольного импульса амплитуда проходящего через резонатор СВЧ сигнала  $P \sim h^2$  некоторое время не изменяется, а в момент времени  $t_0$ , когда  $n_{\mathbf{k}}$  достигнет величины  $n^*$ , при которой поглощение мощности фиксируется аппаратурой, сигнал уменьшается.

Если бы не действовали нелинейные эффекты, то поле в резонаторе упало бы до порогового значения  $h_c$  и это послужило бы причиной ограничения уровня  $n_k$ . Рассчитанная для таких условий форма сигнала  $P$  изображена на рис. 1 и имеет вид ступеньки, или импульса со "сколом". Таким образом, момент появления ступеньки свидетельствует о том, что  $n_k$  достигло уровня  $n^*$ . Расчет выполнен для условий, близких к экспериментальным: при  $n_k/n_{kT} = 10^6 P$  уменьшается на 10%. В экспериментах [2 - 4] наблюдается такая же характерная форма проходящего сигнала. Для дальнейшего рассмотрения определим  $n^*$  как количество магнонов, при котором проходящий сигнал уменьшается на 2%, а  $t_o$  — как время действия накачки, после которого наступает это уменьшение.

$\rho$ , отн. ед.

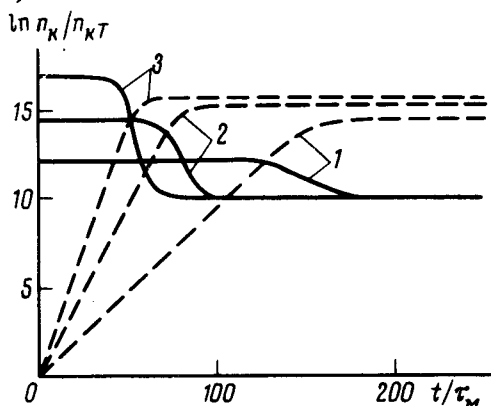


Рис. 1. Расчетная форма СВЧ-сигнала, проходящего через резонатор с образцом при параметрическом возбуждении магнонов. Нелинейные эффекты не учитываются: 1 —  $h/h_c = 1,1$ ; 2 —  $h/h_c = 1,2$ ; 3 —  $h/h_c = 1,3$ . Пунктирные линии — изменение со временем  $\ln(n_k/n_{kT})$ .

В антиферромагнетиках  $\text{CsMnF}_3$  и  $\text{MnCO}_3$  кинетика процесса усложняется тем, что  $\tau_M$  возрастает, а  $h_c$  уменьшается ( $h_c$  пропорционально  $1/\tau_M$ ) с увеличением  $n_k$ , т. е. имеется отрицательное нелинейное затухание [2, 3]. Наблюданная линейная зависимость  $t_o$  от  $(h/h_c - 1)^{-1}$  учитывая (1) говорит о том, что увеличение  $\tau_M$  появляется либо незадолго до момента  $t_o$ , либо после него, а при  $0 < t \lesssim 0,9t_o$   $\tau_M$  и  $h_c$  остаются постоянными. В [2, 3] предполагается, что появление скола вызвано именно этим увеличением  $\tau_M$ , из-за возрастания инкремента неустойчивости  $\frac{1}{\tau_M} \left( \frac{h}{h_c} - 1 \right)$ . Из графиков рис. 1 видно, что сигнал имеет характеристическую форму импульса со сколом и без наличия отрицательного нелинейного затухания.

В настоящей работе скорость нарастания  $n_k$  на линейной стадии процесса исследовалась с помощью прерывания накачки на время  $\delta$ . После включения накачки вновь фиксировался момент скола  $t_2$ . Схема сигнала без такого воздействия и с ним показана на вставке рис. 2.

Прерывание накачки осуществлялось с помощью германевого модулятора, перекрывающего волновод [4]; таким образом, фаза накачки сохранялась. Исследовался образец  $\text{CsMnF}_3$  антиферромагнетика с анизотропией типа "легкая плоскость". Частота накачки  $\omega_p/2\pi = 36 \text{ Гц}$ , температура образца  $T = 1,6 \text{ К}$ , внешнее магнитное поле  $H = 1,2 \text{ кз}$ .

Если считать, что в течение промежутка времени  $\delta$   $n_k$  затухает к тепловому значению  $n_{kT}$  по закону:  $n_k(t) = n_{kT} + (n_k(t_1) - n_{kT}) e^{-(t-t_1)/\tau_M}$

а в остальное время действия накачки нарастает по формуле (1), то из условий равенства  $n_k = n^*$  в моменты времени  $t_o$  (рис. 2, а) и  $t_1 + \delta + t_2$  (рис. 2, б) получится зависимость  $t_2(\delta)$  изображенная для различных значений  $h/h_c$  пунктирными линиями на рис. 2. Данные эксперимента соответствуют более крутым зависимостям  $t_2(\delta)$  (сплошные линии на рис. 2).

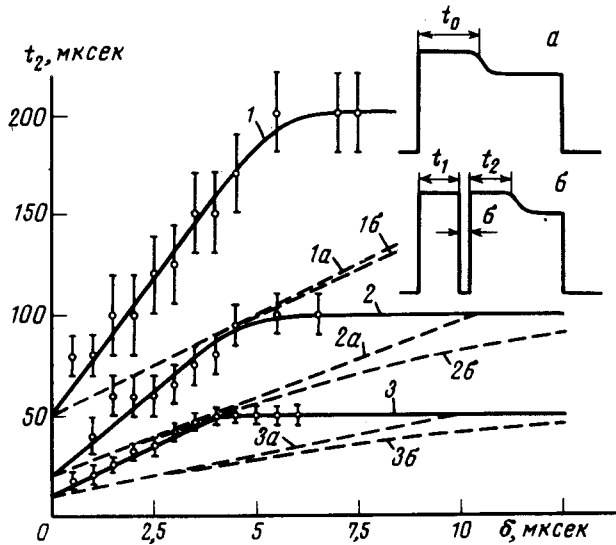


Рис. 2. Схема СВЧ сигнала: *a* – без прерывания накачки, *b* – с прерыванием накачки на время  $\delta$ . Зависимости  $t_2(\delta)$ : 1 –  $h/h_c = 1,08 \pm 0,02$ ,  $t_o = 200 \text{ мкsec}$ ,  $t_1 = 150 \text{ мкsec}$ ; 1<sup>a</sup> – расчет при  $\tau_M = 0,1$ , 1<sup>b</sup> –  $-\tau_M = 3 \text{ мкsec}$ . 2 –  $h/h_c = 1,13 \pm 0,02$ ,  $t_o = 100 \text{ мкsec}$ ,  $t_1 = 80 \text{ мкsec}$ ; 2<sup>a</sup> – расчет при  $\tau_M = 0,1$ , 2<sup>b</sup> –  $-\tau_M = 3 \text{ мкsec}$ . 3 –  $h/h_c = 1,25 \pm 0,02$ ,  $t_o = 50 \text{ мкsec}$ ;  $t_1 = 40 \text{ мкsec}$ . 3<sup>a</sup> – расчет при  $\tau_M = 0,1$ , 3<sup>b</sup> –  $-\tau_M = 3 \text{ мкsec}$

Время достижения величиной  $n_k$  значения  $n^*$  после прерывания зависит также и от момента прерывания  $t_1$ . Зависимость  $t_2(t_1)$  представлена на рис. 3. Данные рис. 2 и рис. 3 свидетельствуют, что в условиях, когда в процессе затухания  $n_k > n_{kT}$  (т. е. при таких значениях  $t_1$  и  $\delta$ , что  $t_2$  не попадает в область перехода зависимости  $t_2(t_1, \delta)$  к горизонтальным асимптотам  $t_2 = t_o$ ) величины  $t_2$ ,  $t_1$ ,  $\delta$  связаны соотношением

$$t_2 = t_o - t_1 + \alpha\delta, \text{ где } \alpha = (2,5 \pm 0,3)/(h/h_c - 1).$$

Справедливость этого равенства проверялась для значений  $h/h_c$  в интервале 1,1 – 1,53. Результаты опытов, проведенных при различных значениях постоянного магнитного поля и при  $T = 2,1\text{K}$  тоже описываются этим соотношением с тем же значением  $\alpha$ .

Это означает, что при последовательных включениях и выключении накачки (рис. 2, б), количество магнонов  $n_k$  в области  $n_k >> n_{kT}$  зави-

сит от времени действия накачки  $t = t_1 + t_2$  и длительности прерывания  $\delta$  следующим образом

$$n_k(t, \delta) = Af(t_1 + t_2 - \alpha\delta). \quad (2)$$

Поскольку  $n_k$  достаточно мало для того, чтобы затухание магнонов описывалось линейными уравнениями и достаточно велико по сравнению с  $n_{kT}$ , то для затухания магнонов справедлив закон  $n_k(\delta) = n_0 \exp(-\delta/\tau_M)$ . (Это определение  $\tau_M$ ). С другой стороны, затухание описывается функцией  $f$  при  $t = 0$ . Отсюда получим, что  $f(x) = A \exp(x/\alpha\tau_M)$ . Рост числа магнонов описывается функцией  $f$  при  $\delta = 0$ , т. е.

$$n_k(t) = A \exp \left\{ \left( \frac{h}{h_c} - 1 \right) \frac{t}{(2,5 \pm 0,3)\tau_M} \right\}. \quad (3)$$

Инкремент роста этой экспоненты  $\xi = \left( \frac{h}{h_c} - 1 \right) / 2,5\tau_M$  в 2,5 раза меньше, чем в формуле (1).

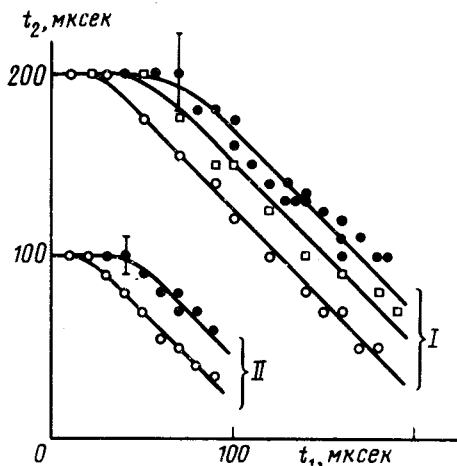


Рис. 3. Зависимость  $t_2(t_1)$  при фиксированном  $\delta$ : ● —  $\delta = 2 \text{ мкsec}$ ; ○ —  $\delta = 1 \text{ мкsec}$ , □ —  $\delta = 1,5 \text{ мкsec}$ , I —  $h/h_c = 1,1 \pm 0,02$ ,  $t_0 = 200 \text{ мкsec}$ , II —  $h/h_c = 1,13 \pm 0,02$ ,  $t_0 = 100 \text{ мкsec}$

Несоответствие действительного значения инкремента нарастания  $\xi$  величине  $\left( \frac{h}{h_c} - 1 \right) / \tau_M$  можно ожидать, предположив наличие взаимодействий, хаотизирующих фазу пар магнонов, без диссипации самих магнонов (например, рассеяние на магнитных неоднородностях [5]). Численное моделирование параметрической неустойчивости при наличии таких взаимодействий (фаза пар магнонов через промежутки времени, в среднем равные  $\tau_\phi$  принимает случайные значения) показало два следствия введения таких процессов: 1) пороговое поле увеличивается:  $h_c = h_{c0} F(\tau_M/\tau_\phi) > h_{c0}$ , 2) инкремент нарастания  $\xi = \beta(h/h_c - 1)$ , однако  $\beta = \beta(\tau_M/\tau_\phi) > 1/\tau_M$  — имеется увеличение, а не уменьшение  $\xi$  относительно  $(h/h_c - 1)/\tau_M$  т. е. эти процессы взаимодействия не могут объяснить наблюдаемого несоответствия. Принимая во внимание первое следствие отметим, что в целом при одинаковой величине  $h$   $\xi$ , конечно, уменьшается по сравнению с магнитной системой, в которой процессов, хаотизирующих фазу, нет.

Таким образом, экспериментально установлено, что развитие параметрической неустойчивости является экспоненциальным во времени, однако, инкремент роста отличается от предсказываемого простой моделью (формула 1) и моделью, учитывающей особенности рассеяния на магнитных неоднородностях.

Я благодарен П.Л.Капице за интерес к работе, А.С.Боровику-Романову, Л.А.Прозоровой и А.П. Мещеркину за неоднократные полезные обсуждения.

Институт физических проблем  
Академии наук СССР

Поступила в редакцию  
22 декабря 1977 г.

### Литература

- [1] В.Е.Захаров, В.С.Львов, С.С.Старобинец. ЖЭТФ, 59, 1200, 1970.
  - [2] В.В.Кведер, Б.Я.Котюжанский, Л.А.Прозорова. ЖЭТФ, 63, 2205, 1972.
  - [3] Б.Я.Котюжанский, Л.А.Прозорова. ЖЭТФ, 65, 2470, 1973.
  - [4] Л.А.Прозорова, А.И.Смирнов. ЖЭТФ, 61, 1952, 1974.
  - [5] В.Е.Захаров, В.С.Львов. ФТТ, 14, 2913, 1972.
-